

## بررسی فعالیت گسل شمال نیشابور

مرتضی فتاحی<sup>۱\*</sup>، سعیده رستمی مهربان<sup>۲</sup>، مرتضی طالبیان<sup>۳</sup>، عباس بحروفی<sup>۴</sup>، جیمز هالینگورت<sup>۵</sup> و ریچارد والکر<sup>۶</sup>

<sup>۱</sup> استادیار، گروه فیزیک زمین، مؤسسه ژئوفیزیک دانشگاه تهران، ایران

<sup>۲</sup> دانشجوی کارشناسی/رشد ژئوفیزیک، گروه فیزیک زمین، مؤسسه ژئوفیزیک دانشگاه تهران، ایران

<sup>۳</sup> استادیار، سازمان زمین‌شناسی ایران، تهران، ایران

<sup>۴</sup> استادیار، سازمان زمین‌شناسی ایران، تهران، ایران

<sup>۵</sup> محقق، دپارتمان علوم زمین، کیمبریج انگلیس

<sup>۶</sup> استادیار، دپارتمان علوم زمین، دانشگاه آکسفورد، انگلیس

(دریافت: ۱۱/۸/۹۰، پذیرش نهایی: ۱۹/۷/۹۰)

### چکیده

فلات ایران به لحاظ زمین‌ساختی یکی از فعال‌ترین مناطق جهان است و لذا همواره در آن شاهد زلزله‌های با شدت کم و زیاد هستیم. بنابراین ضروری است که خطر زلزله در هنگام احداث ساختمان‌ها و تأسیسات برآورد شود. اولین گام اساسی در تحلیل خطر زلزله، شناسایی و به نقشه در آوردن گسل‌های فعال و سپس محاسبه میزان فعالیت آنها در یک ناحیه مشخص است. در این جهت ضروری است میزان متوسط سرعت لغزش (Slip-rate) هر گسل، دوره بازگشت زلزله‌ها و میزان آخرین زلزله هر گسل مشخص و بزرگی آن برآورد شود. نیشابوریکی از مهم‌ترین شهرها در شمال شرق ایران است. این شهر حداقل چهار بار با زلزله‌های تاریخی تخریب و بعضًا نابود شده است. این زمین‌لرزه‌ها احتمالاً ناشی از جنبش گسل‌های فعال بینالود، شمال نیشابور و نیشابور بوده‌اند. گسل‌های شمال نیشابور و بینالود در دامنه رشته‌کوه‌های بینالود، در شمال شهر نیشابور، قرار دارند. گسل شمال نیشابور، خط اثر، محل برخورد صفحه گسله با سطح زمین است که گاهی اوقات با شواهد زمین‌ریختی (ژئومورفیک) توصیف می‌شود) نسبتاً سینوسی دارد که از مشخصه‌های یک گسل تراستی است و هیچ مولفه امتدادرنگ و اضحتی را نشان نمی‌دهد. در این مقاله، به بحث درخصوص یافته‌هاییمان که از تحقیقات صحرایی در محلی ( $36^{\circ}18'N$ ,  $58^{\circ}50'E$ ) که گسل تراستی شمال نیشابور با روخدانه‌ای برباد شده است، می‌پردازیم.

واژه‌های کلیدی: سن‌یابی، درخشاری (لومینیسانس) نوری، OSL، نیشابور، گسل فعال، سرعت یا میزان لغزش، گسل شمال نیشابور

## An investigation into the activity of the North Neyshabour fault, eastern Iran

Fattahi, M.<sup>1</sup>, Rostami Mehraban, S.<sup>2</sup>, Talebian, M.<sup>3</sup>, Bahroudi, A.<sup>4</sup>, Hollingsworth, J.<sup>5</sup> and Walker, R.<sup>6</sup>

<sup>1</sup> Assistant Professor, Earth Physics Department, Institute of Geophysics, University of Tehran, Iran

<sup>2</sup> M.Sc. Student of Geophysics, Earth Physics Department, Institute of Geophysics, University of Tehran, Iran

<sup>3</sup> Assistant Professor, Geological survey of Iran, Tehran, Iran

<sup>4</sup> Assistant Professor, Geological survey of Iran, Tehran, Iran

<sup>5</sup> Researcher, Earth Science Department, Cambridge, United Kingdom

<sup>6</sup> Assistant Professor, Earth Science Department, University of Oxford, United Kingdom

(Received: 24 Jan 2011, Accepted: 11 Oct 2011)

### Abstract

Iran is one of the most tectonically active parts of the world and regularly experiences earthquakes of both low and high magnitude. Therefore, earthquake hazard assessment before any kind of building construction and for already built and populated area is essential. A vital first step in this type of study is to identify, map, and determine the activity of faults within a given region. Investigating fault activity requires estimation of the average fault slip-rate, the recurrence interval between earthquakes, and the time of

the last earthquake produced by each individual fault. Neyshabour is one of the most important cities in NE Iran. The city has been destroyed four times by major historical earthquakes. Three large faults exist in the region (the North Neyshabour, Binalud and Neyshabour faults). The North Neyshabour and Binalud faults lie at the foot of the Binalud range north of Neyshabour. The North Neyshabour fault has a relatively sinuous surface trace, typical of a thrust fault, and does not show any clear strike-slip component.

The North Neyshabur thrust fault is exposed in a river section, at 36°18'N 58°50'E. The fault dips 60° north, and forms ~8-9 m high fault scarp at the surface which vertically offsets a Quaternary terrace. Within the river section, a yellow sandstone unit is offset by 9 m. A 60 by 40 cm sample of this unit was collected from the river exposure for optically stimulated luminescence (OSL) dating (location: 36°18.3090N 58°50.2700E). The sample was dated in the Oxford luminescence lab using a Riso (Model TL/OSL-DA-15) automated TL/OSL system under subdued red light (for details of the method see Fattahi et al., 2006, 2007; Fattahi and Walker, 2007). Eighteen subsamples of sample N5 demonstrated a wide paleodose distribution. This suggests that the sediment may not have been completely reset upon deposition (i.e. not all ‘trapped’ electrons from an earlier burial period were reset during sediment transport). This causes the mean age determination using weighted mean, 42000-68000 year, to overestimate the real deposition age. One solution to this problem is to assume the date of the youngest grains represent the time of deposition, giving a lower age of 22200-26000 year. However, we decided to use both age estimates for slip rate determination. As the top Quaternary terrace, has been displaced ~ 8-9 m at the surface, we calculated two slip rate using both average and minimum ages for calculating the slip-rate on the North Neyshabur fault (~0.1–0.2 and ~0.3–0.4 mm/yr), respectively.

**Key words:** Dating, optical luminescence, active fault, slip rate, North Neyshabour fault

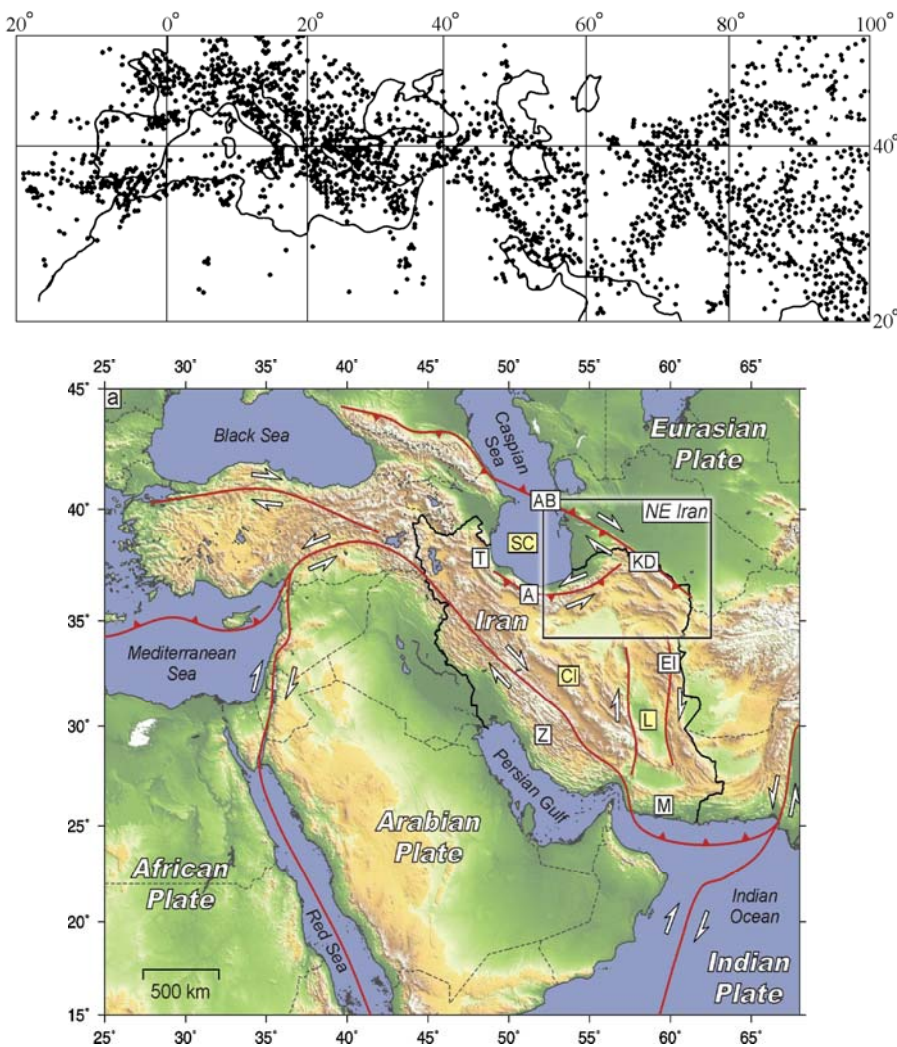
## ۱ مقدمه

جان ۳۰۰۰۰ نفر را گرفت و کل شهر تاریخی بس و روستاهای اطراف آن را ایران کرد (فتاحی و همکاران، ۲۰۰۶).

اولین گام در تحلیل خطر زلزله، تعیین نقشه گسل‌های فعال و اندازه گیری میزان فعالیت گسل‌ها است. دو پارامتر اساسی برای تعیین میزان فعالیت هر گسل عبارت‌اند از: ۱- تعیین سن یا زمان آخرین زلزله مخرب و حتی الامکان زلزله‌های قبلی به منظور تعیین رخداد مجدد. ۲- تعیین نرخ لغزش هر گسل در سال. لازم به ذکر است که به منظور تعیین نرخ لغزش هر گسل در دوران طولانی از گذشته تا حال می‌باید میزان و زمان جابه‌جایی گسل اندازه گیری شود. میزان جابه‌جایی با روش‌های معمول و یا GPS سینماتیک صورت می‌گیرد و سن‌یابی برای برآورد زمان ضروری است.

ایران روی کمریند زلزله آلب - هیمالیا قرار دارد (شکل ۱). تشنهای فشارشی ناشی از بازشدگی دریای سرخ و گسترش اقیانوس هند موجب حرکت و جابه‌جایی‌های نسبی قطعات گوناگون قاره‌ای و اقیانوسی در منطقه می‌شود. در داخل ایران فشار سپر عربستان به فلات ایران و حرکت به سمت شمال تحت این فشار موجب تغییر‌شکل پوسته ایران و رویدا دزمین‌لرزه‌ها می‌شود (شکل ۱).

زلزله که مهم‌ترین خطر طبیعی در ایران است، هر چند سال یک‌بار موجب صدمات جانی، مالی و فرهنگی می‌شود. برای مثال، زمین‌لرزه ۱۹۷۸ طبس با بزرگی (Ms=7.3) که باعث مرگ ۲۰۰۰۰ نفر شد. زمین‌لرزه ۱۹۹۰ رودبار (Ms=7.7) دست کم ۳۰۰۰۰ نفر را کشت و اخیراً زمین‌لرزه ۲۶ دسامبر ۲۰۰۳ با بزرگی (Mw=6.5) که



شکل ۱. تصویر بالا: جایگاه زمین‌شناسی ایران در نوار چین خورده آپ-هیمالیا (خین و لیکوسکی، ۱۹۹۴). تصویر پایین: جایگاه زمین‌ساخت ایران در خاورمیانه. سامانه‌های گسلش اصلی با خط سرخ نشان داده شده است. تغییرشکل‌ها در ایران در اثر فشار عربستان در زاگرس (Z)، تالش (T)، البرز (A)، و کوه‌داغ (KD) تمرکز یافته‌اند. سامانه‌های گسلش راست‌گرد در شرق ایران (EI)، اسفراین بالکان (AB)، و مکران (M) با مریع‌های سقید نشان داده شده است که مناطق مرکزی ایزان (CL)، جنوب دریای خزر (SC) و دشت لوت (L) را احاطه کرده‌اند. نیشابور در منطقه شمال شرق ایران (NE Iran) قرار دارد که با مریع بزرگ نشان داده است (هلینگورس، ۲۰۱۰).

حدائق چهار بار با زلزله‌های تاریخی تخریب شده است. گسل شمال نیشابور با طول بیش از ۱۰۰ کیلومتر و راستای حدود ۱۱۵ در جنوب رشته کوه‌های بینالود، و در شمال شهر نیشابور، واقع است. این تحقیق قسمتی از یک بررسی جامع تر است که طی آن تغییرشکل‌های کواترنر مرتبط با رشته کوه‌های البرزو بینالود مورد بررسی قرار گرفت. اطلاعات زمین‌ریخت شناسی (ژئومورفولوژی) به کمک

در میان انواع روش‌های سن‌یابی مطلق، سن‌یابی به روش درخشایی به لحاظ نیمه‌خشک بودن ایران، روشنی مناسب در سن‌یابی نهشته‌های مرتبط با زلزله است. اول اینکه مستقیماً این نهشته‌ها را سن‌یابی می‌کند و دوم اینکه سن‌یابی آن می‌تواند از چنددهسال تا بالای یک میلیون سال گسترش یابد (فتاحی و استوکر، ۲۰۰۳). نیشابور یکی از شهرهای مهم استان خراسان است که

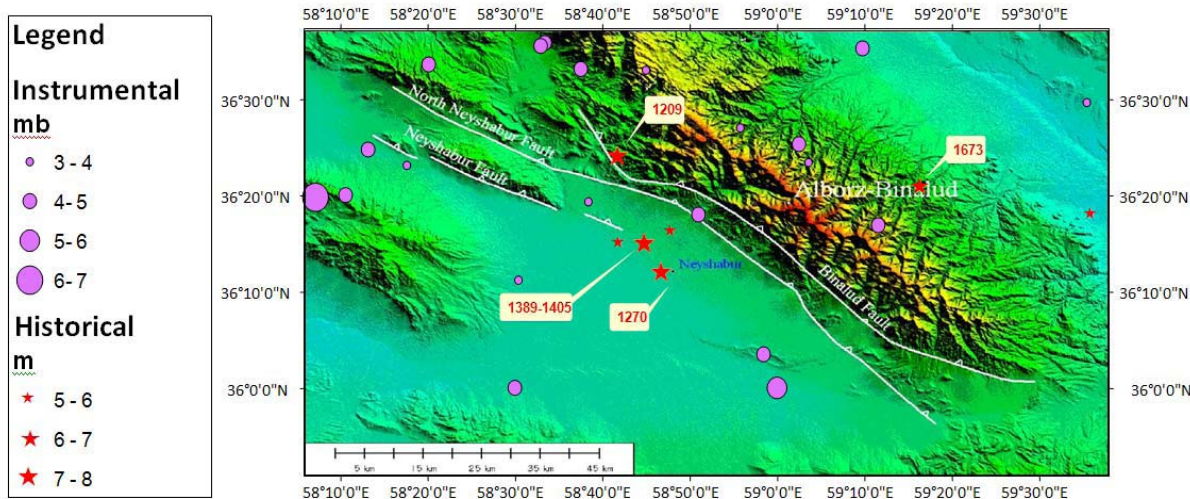
واقع است و از ۸ کیلومتری شمال شرقی شهر نیشابور می‌گذرد و گسل نیشابور که در ناحیه جنوبی کوه‌های بینالود از ۳ کیلومتری شمال غربی شهر نیشابور می‌گذرد (بربریان و ییتس، ۱۹۹۹) (شکل ۲). بربریان و ییتس (۱۹۹۹) پیشنهاد کردند که زلزله‌های سال (I0=X, M~7.3) و سال ۱۳۸۹ م (I0=X, M~7.3) و سال ۱۲۰۹ طول ۹۵ کیلومتری گسل معکوس بینالود را در سمت شرقی گسیخته‌اند. ثبت‌های تاریخی نشان می‌دهد که در ۱۲۰۹ م، محدوده نیشابور از شهر نیشابور در غرب تا روستای دانه در شرق، کاملاً ویران شده و در زمین‌لرزه ۱۳۸۹، زمین‌لغزش‌های متعدد در کوه‌های بینالود در شرق چندین روستا را در همان منطقه ویران کرده است. در حالی که زمین‌لرزه ۱۲۷۰ م، پهنه نیشابور به سمت غرب را در بر گرفت و پهنه ویرانی زمین‌لرزه ۱۴۰۵ م، نیشابور و غرب آن را پوشانیده بود، بدین‌سبب می‌توان گسل نیشابور را مسبب رویداد این دو زمین‌لرزه پیشنهاد و اعلام کرد که این دو زمین‌لرزه طول ۵۰ کیلومتری گسل معکوس نیشابور را گسیخته‌اند (بربریان و همکاران، ۱۳۷۸).

عکس‌های ماهواره‌ای و مشاهدات محلی، اطلاعات لرزه‌ای براساس ثبت‌های تاریخی زلزله، میزان بالا آمدگی زمین در محل مورد بررسی با GPS سینماتیک و سن‌یابی به روش درخشایی صورت گرفت. این گزارش ضمن مروری کوتاه بر وضعیت زلزله خیزی نیشابور، زمین‌ریخت‌شناسی گسل شمال نیشابور، و سن‌یابی به روش درخشایی نوری به منظور تعیین سرعت جابه‌جایی گسل شمال نیشابور را مورد بحث قرار می‌دهد.

## ۲. زلزله خیزی نیشابور

نیشابور با جمعیتی حدود دویست هزار نفر، در ناحیه جنوبی کوه‌های بینالود در شمال شرقی ایران واقع شده است و حداقل چهار بار با زلزله‌های تاریخی (بربریان و ییتس، ۱۹۹۹) تخریب و شاید نایبود شده است.

در این منطقه حداقل سه گسل اصلی معکوس وجود دارد: گسل بینالود که در پای دامنه جنوب غربی رشته‌کوه بینالود قرار دارد و از ۱۵ کیلومتری شرق شهر نیشابور می‌گذرد، گسل شمال نیشابور که در جنوب گسل بینالود



شکل ۲. توپوگرافی جنوب رشته‌کوه بینالود- البرز شرقی. خطوط سفید نشان‌دهنده گسل‌های فعال است. گسل‌های بینالود و شمال نیشابور در دامنه رشته‌کوه، شمال شهر نیشابور، قرار دارند و گسل نیشابور در جنوب رشته‌کوه، غرب شهر نیشابور، قرار دارد. زمین‌لرزه‌های تاریخی با ستاره و زمین‌لرزه‌های دستگاهی با دایره نشان داده شده است (زمین‌لرزه‌های تاریخی از آمبرسیز و ملویل، ۱۳۷۰، بربریان و همکاران، ۱۳۷۸، شجاع طاهری و قرشی، ۱۳۸۱، گردآوری شده است و در جمع آوری داده‌های دستگاهی علاوه بر این منابع، از ISC نیز استفاده شده است).

که در نیشابور روی داد، موجب مرگ ۳۰ تا ۴۰ نفر شد و به شدت در مشهد، شیروان و سبزوار احساس شد ولی در این شهرها آسیبی به همراه نداشت و زمین لرزه (M=۵/۶) هم در منطقه نیشابور رخ داد (بربریان و همکاران، ۱۳۷۸).

هیچ داده سنی دقیق و یا لرزه خیزی از گسله شمال نیشابور در دست نیست. اگرچه بربریان و همکاران (۱۳۷۸) گزارش کردند که این گسله در پنهان زمین لرزه (X=۱۲۰۹) نیشابور (I0=7.6, Ms=7.6) قرار دارد، ولی واکنش و یا رفتار آن به هنگام رویداد این زمین لرزه روشن نیست.

در جدول‌های ۱ و ۲، فهرست زمینلرزه‌های تاریخی و دستگاهی روی داده در منطقه آمده است. داده‌های تاریخی از منابع گوناگون (آمبرسیز و ملویل، ۱۳۷۰؛ بربریان و همکاران، ۱۳۷۸ و شجاع طاهری و قرشی، ۱۳۸۱) گردآوری شده است.

البته، با توجه به اینکه همه این گسل‌ها در شمال شهر نیشابور همدیگر را قطع می‌کنند (شکل ۲) اتفاقاً به گزارش‌های تاریخی در تعیین رابطه زلزله‌ها با گسل‌های خاص کافی نیست.

هولینگورت و همکاران (۲۰۰۶) پیشنهاد کردند که زلزله ۱۶۷۳ (M ~۶/۶) که دو سوم شهر مشهد (با حدود ۴۰۰۰ تلفات) و نصف نیشابور (۱۶۰۰ تلفات) را تخریب کرد، ممکن است ناشی از لغزش جنوب شرقی گسل‌های بینالود یا شمال نیشابور باشد که در اثر زلزله‌های سال‌های ۱۴۰۵-۱۴۰۹ ابرزی گرفته است. آنها همچنین معتقدند که زلزله ۱۸۵۱ (M ~۶/۹) که منطقه وسیعی بین قوچان و نیشابور را لرزاند و یک‌چهارم شهر قوچان (با حدود ۱۶۰ کشته و زخمی) و ناحیه جنوب قوچان (۲۰۰۰ کشته) را تخریب کرد و شش ماه بعد در ۱۸۵۲ مجددًا قوچان را لرزاند، ممکن است مرتبط با ساختار همراه با تغییر شکل کوه‌های کپه‌داغ باشد. زمین لرزه (M ~۵/۲) ۱۹۲۸ (X=۵/۲) که در ۱۳۷۸ روی داد.

جدول ۱. فهرست زمین لرزه‌های تاریخی منطقه نیشابور.

Date (G.M.T)	Epicentre (LatN°-LongE°)	Magnitude			Area
		M	Ms	mb	
c.241-272					Neyshabur
457/7/25					Rewan
c.7th					Neyshabur
1145/00/00	36.25-58.7		5.3	5.3	Neyshabur
1209/00/00	36.4-58.7		7.6	7.3	Binalud
1251/00/00	36.27-58.8		5.3	5.3	Neyshabur
1270/10/07	36.2-58.8		7.1	7.0	Neyshabur
1389/02/00	36.25-58.75		7.6	7.3	Binalud
1405/11/23	36.25-58.75		7.6	7.3	Neyshabur
1598					Mashhad
1673/07/30	36.35-59.27		6.6	6.5	Kashafrud
1687/04	36.3-59.6		5.8		
1851/06/00	36.78-58.5		6.9	6.8	Binalud
1855/03/21	36.48-58.37				Binalud
1857/05/00	36.48-58.37				Rivand

## جدول ۲. فهرست زمین‌لرزه‌های دستگاهی منطقه نیشابور.

Date (G.M.T)	Epicentre (LatN°-LongE°)	Magnitude			Source	Area
		Ms	M	mb		
1928/8/21	35.00-59.00			5.2	ISS	Neyshabur
1938/12/19	36.23-57.96			5.6	ISC (www.isc.ac.uk/, International Seismological Centre)	
1939/11/8	58.12-36.33			6.3	ISC	
1949/12/14	36.00-59.00			5.1	ISC	Neyshabur
1958/01/28	36.00-58.5			5.0	USGS (www.usgs.gov/, U.S. Geological Survey)	Neyshabur
1964/05/15	36.3 - 58.85			4.6	ISC	Binalud
1976/05/01	36.39-59.06			3.7	ISC	Binalud
1977/08/16	36.4124 -58.2201			4.5	ISC	Neyshabur
1977/08/17	36.422 -59.0418			4.8	ISC	Binalud
1977/08/31	36.45-58.93		3.2		SNFU	
1978/07/19	36.55-58.75		3.2		SNFU	
1981/08/03	36.1864- 58.5069			3.9	ISC	Neyshabur
1982/02/24	36.3223-58.6402			4.0	ISC	Neyshabur
1982/02/24	36.385-58.294			4.0	ISC	Neyshabur
1983/01/04	36.2814- 59.1929			4.3	ISC	Mashhad
1984/07/06	36.5601-58.3356			4.8	ISC	Neyshabur
1986/08/25	36.668-58.856			4.2	ISC	Neyshabur
1988/09/28	36.5972-58.557			4.4	ISC	Binalud
1994/12/12				4.0		Mashhad
1994/12/13				4.3		Mashhad
1995/2/17				3.9		Mashhad
1995/06/14	36.5521-58.6258			4.5	ISC	Binalud
1997/02/23	36.7261- 58.7266			3.9	ISC	Mashhad
1998/12/22	36.0582- 58.9744			4.1	ISC	
2000/06/14	36.488-59.762			4.1	ISC	Mashhad
2001/05/20	36.494-59.591			4.4	ISC	Mashhad
2001/12/18	36.919- 59.211			4.1	ISC	Mashhad
2004/02/25	36.5879- 59.1629			4.3	ISC	
2004/12/17	36.3336- 58.1771			4.3	ISC	
2005/08/07	36.5921-58.5491			4.5	ISC	

شمال شرق دارد. این گسل در راستای خود مارن‌های سرخ و قهوه‌ای گچ‌دار نشوزن و سنگ‌های آتشفسانی آندزیتی نشوزن (از سوی شمال شرقی) را روی رسوبات آبرفتی کواترنر دشت نیشابور (در جنوب غربی) رانده است. این گسل نیز مانند سایر گسلهای این منطقه به طور

۳ زمین‌ریخت‌شناسی گسل شمال نیشابور گسل "شمال نیشابور" با راستای حدود  $115^{\circ}$  (رونده شمال غرب-جنوب شرق) که به سمت شرق تا  $130^{\circ}$  افزایش می‌باید، بیش از ۱۰۰ کیلومتر طول دارد. این گسل از ۸ کیلومتری شمال شرقی نیشابور می‌گذرد و شبیه به سمت

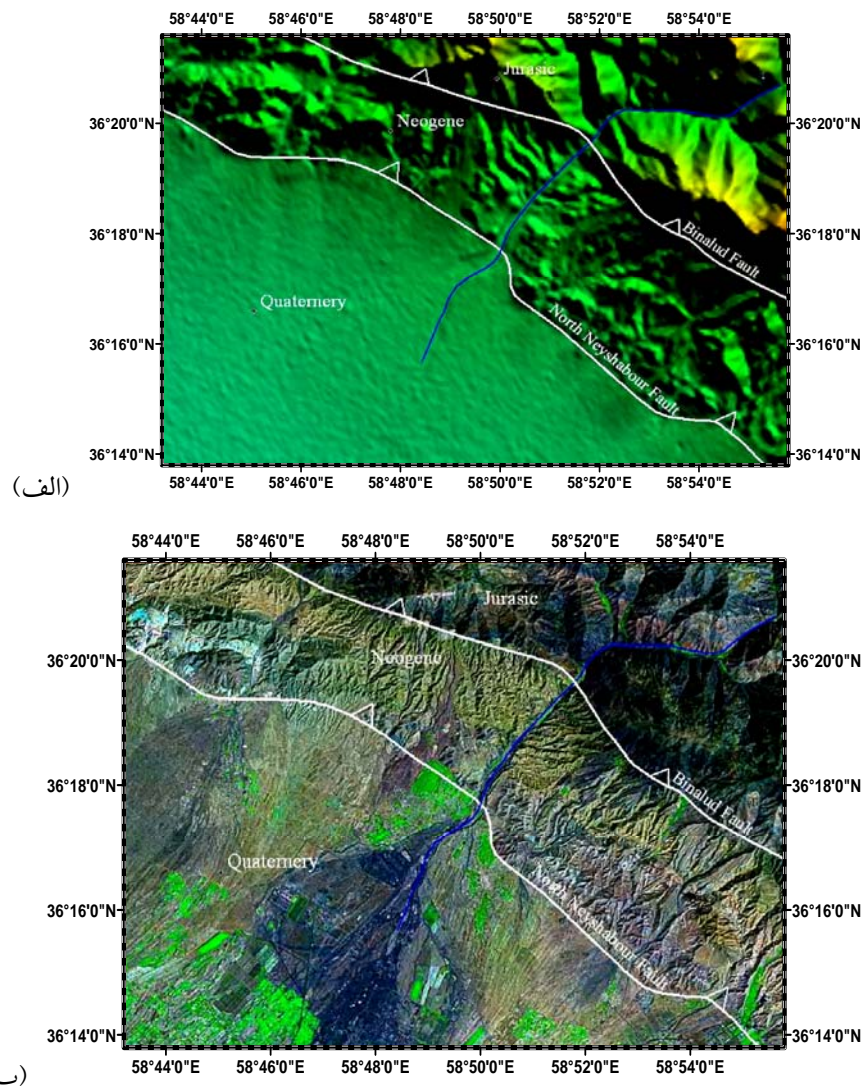
در بررسی‌های از راه دور تصاویر ماهواره‌ای، چند منطقه را انتخاب کردیم. در عرض جغرافیایی  $36^{\circ}18'$  و طول جغرافیایی  $58^{\circ}50'$  گسل "شمال نیشابور" با یک رودخانه بریده شده است (شکل ۴).

بررسی‌های دقیق‌تر نشان داد که این ناحیه یکی از نمونه‌های خوب برای تحقیق و نمونه‌برداری است. خوشبختانه، رودخانه یک ترانشه عالی را برای بررسی تغییر شکل زمین با گسل نشان داده است. اثر گسل نیز روی این ترانشه کاملاً آشکار بود (شکل ۵). این اثر اندازه‌گیری و اطلاعات مربوط به گسل شمال نیشابور ثبت شد. دولایه سمت راست (نسبت به خط گسل) آن باریک است و سمت چپ لایه نسبت به سمت راست آن، پهن است. لایه دوم، زرد رنگ است و قسمت فرادي‌سواره در وسط شکل ۵ و فرویدی‌سواره تقریباً در پایین، سمت چپ شکل ۵ قرار دارد.

معکوس عمل کرده است. به دلیل عملکرد این گسل، گچ‌ها و مارن‌های گچ‌دار نتوڑن معدن گچ، ارتفاع گرفته است. همگام با انتشار گسل‌ش تراستی به سمت جنوب، مخروطه افکنه‌های آبرفتی کواترنری رسوب کرده در شمال گسل بالا آمده، باعث بریده شدن آنها با رودخانه‌ها می‌شوند. در نتیجه، تعدادی تراس‌های کواترنری در سراسر منطقه نتوڑن بالا آمده ایجاد شده‌اند. تراس‌های مشابه در شمال گسل بینالود حضور ندارند، بنابراین روشن می‌شود که بیشترین کوتاه‌شدگی کواترنری روی گسل شمال نیشابور اتفاق افتاده است. در نتیجه براساس این اطلاعات زمین‌ریخت‌شناسی، گسل شمال نیشابور فعال‌تر از گسل بینالود است. طبیعت سینوسی‌شکل گسل "شمال نیشابور" نمونه یک گسل تراستی است. اثر گسل روی زمین گاهی با رودخانه‌هایی که به سمت جنوب جریان داشته‌اند، از بین رفته است. لذا در تصاویر، بخشی از گسل در این محل‌ها ناپیدا است (مثل شکل ۳).



شکل ۳. نمونه‌ای از اثر گسل روی زمین که گاه با رودخانه‌هایی که به سمت جنوب جریان داشته‌اند، از بین رفته است. لذا در تصاویر، بخشی از گسل در این محل‌ها ناپیدا است.



شکل ۴. (الف) توپوگرافی گسل شمال نیشابور. خط آبی رودخانه‌ای را نشان می‌دهد که در عرض جغرافیایی  $36^{\circ}18'0''N$  و طول جغرافیایی  $58^{\circ}50'0''E$  گسل "شمال نیشابور" را بریده و گسل در یک قسمت کنار رودخانه نمایان شده است. همچنین لیتوژئی منطقه مشخص شده است. (ب) تصویر ماهواره‌ای منطقه در (الف).



شکل ۵. گسل شمال نیشابور باعث جایه‌جایی لایه ۲ یا لایه زرد رنگ شده است، شده است. برای مخصوص شدن مقیاس، در کف رودخانه شخصی ایستاده که با دایره سرخ مشخص شده است.

گسل تسبیت به سمت دیگر جابه‌جا شده است و زمان لغزش عبارت است از کل زمانی که طول کشیده است تا این جابه‌جایی صورت گیرد.

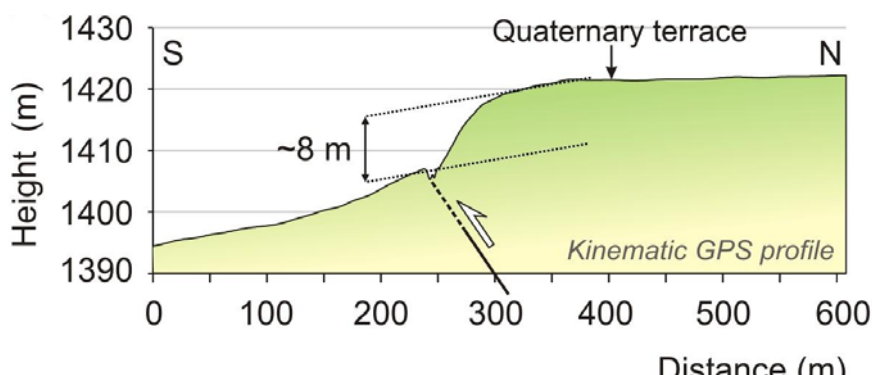
از جمله روش‌هایی که می‌توان برای تعیین سرعت متوسط لغزش به کار برد، اندازه‌گیری مسافت لغزش به کمک GPS و مدت آن به کمک سن‌یابی به روش نوری (OSL, Optically Stimulated Luminescence) است (فتاحی و همکاران، ۲۰۰۶ و فتاحی و والکر، ۲۰۰۷). از این‌رو به منظور تعیین نرخ لغزش گسل شمال نیشابور (شکل ۵) تغییرات توپوگرافی سطحی در بالای پرتگاه به کمک دستگاه سینماتیک GPS اندازه‌گیری شد (شکل ۶-الف) و نتایج در شکل ۶-ب) آمده است.

**۴ تعیین نرخ لغزش گسل شمال نیشابور (Slip rate)** به منظور تعیین نرخ جابه‌جایی یک سمت گسل نسبت به سمت دیگر، از مفهومی با عنوان slip rate که معادل فارسی آن را می‌توان "نرخ لغزش" تعریف کرد، استفاده می‌شود. نرخ لغزش با تقسیم کل جابه‌جایی صورت گرفته بر مدت زمانی که این حرکت انجام پذیرفته است، به دست می‌آید.

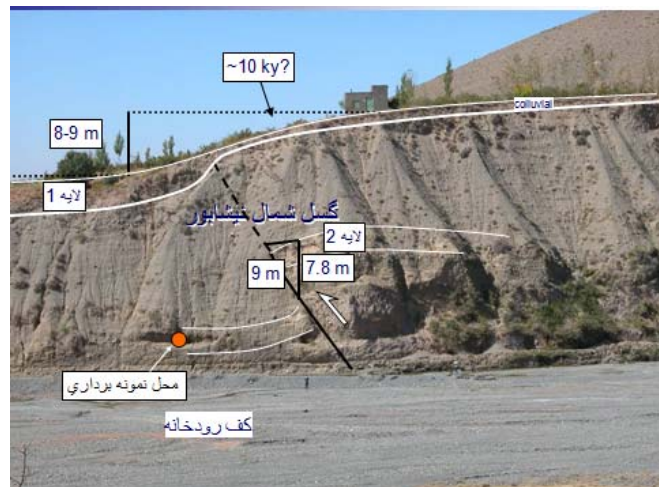
لازم به ذکر است که نرخ لغزش ثابت نیست و به همین دلیل، نرخ متوسط را به دست می‌آوریم که با فرمول ساده زیر قابل بیان است:

$$\text{نرخ متوسط لغزش} = \frac{\text{مسافت لغزش}}{\text{زمان لغزش}}$$

مسافت لغزش عبارت است از کل مسافتی که یک سمت



(الف)



(ب)

شکل ۶. گسل شمال نیشابور. (الف) نیم‌نرخ توپوگرافی که با GPS اندازه‌گیری شده است، را نشان می‌دهد. (ب) نمایانگر جابه‌جایی لایه ۲ در امتداد گسل حدود ۹ متر و جابه‌جایی عمودی به اندازه ۷.۸ مترو زاویه گسل باافق نیز  $60^\circ$  است.

نتیجه به کمک این سن حداقل "سرعت لغزش" محاسبه می‌شود.

### ۵ سن یابی

اندازه‌گیری سیگنال درخشایی حاصل از دانه‌های معدنی وسیله‌ای است برای تعیین زمان سپری شده بعد از اینکه نمونه برای آخرین بار در معرض نور قرار گرفته است. به همین منظور، در آزمایشگاه کوارتز یا فلدسپار از نمونه رسوی جدا شده و با نور در یک طول موج خاص (مانند آبی، سبز یا فروسرخ) تحریک می‌شود و سیگنال OSL گسیل شده از آن در طول موج‌های دیگر مانند (UV) اندازه‌گیری می‌شود. چون تعداد فوتون‌های حاصل معادل تعداد الکترون‌های جمع شده در تله در طی زمان مدفون شدن است و چون الکترون‌ها رابطه مستقیم با  $\delta^*$  پرتوzای محیطی که نمونه رسوی در آن قرار داشته است، دارد. لذا سیگنال درخشایی حاصل را سیگنال حاصل از  $\delta^*$  طبیعی ( $D\epsilon$ ) می‌نامیم.  $\delta^*$  معادل  $\delta^*$  طبیعی همان  $\delta^*$  تابشی است که نمونه بعد از رویداد صفرشدگی و در طول مدت دفن شدگی دریافت کرده است. نرخ تابش طبیعی، یا "نرخ  $\delta^*$ ", مقدار  $\delta^*$  است که یک نمونه هرسال دریافت می‌کند سن نمونه، از رابطه زیر به دست می‌آید:

در معادل  $\delta^*$  طبیعی که نمونه در زمان دفن بودن

دریافت کرده است ( $Gy$ )( $D\epsilon$ )

$$\text{سن نمونه} = \frac{\delta^* \text{ پرتوzای نمونه از محیط ظرف یک سال دریافت}}{\text{کرده است}} \quad (\text{Gy}/\text{ka})$$

بنابراین به منظور سن یابی به روش درخشایی نوری ضروری است  $\delta^*$  معادل طبیعی و  $\delta^*$  سالانه محاسبه شود (آیتکن، ۱۹۹۸ و فتاحی، ۲۰۰۳). بدین‌منظور، ابتدا برای نمونه‌برداری یک قالب  $60 \times 40 \times 50$  سانتی‌متر مکعب از محل جدا کردیم. سپس در تاریکی قسمت مرکزی این قالب را خارج کردیم. این امر ما را مطمئن ساخت که نمونه، نور نخوردۀ است. هم‌زمان نمونه دیگری برای

شیب گسل،  $60^\circ$  به سمت شمال است و در سطح یک پرتابه کوچک به ارتفاع ۸۹ متر را تشکیل داده است (اختلاف ارتفاع لایه ۱ در دو طرف گسل در شکل ۶). جابه‌جایی قائم گراولهای لایه افقی (لایه ۲ در شکل ۶) یعنی بالارفتگی سمت راست لایه نسبت به سمت چپ آن در امتداد گسل، نمایانگر آن است که این گسل فعال و از نوع تراست است.

برای تعیین مدت لغزش، تلاش به منظور نمونه‌برداری OSL از چند نقطه از دیواره بالای پرتگاه، به کمک نردنیان که از روستاهای اطراف به امانت گرفته شد، ناموفق ماند. از این رو به دلیل نبود امکانات موفق به نمونه‌برداری از مناسب‌ترین محل نشدمیم. به ناچار از ناحیه در دسترس دیواره و در محلی که در شکل ۶ (چندین متر بالای سطح رودخانه به مشخصات  $N_{36^\circ 18' 3.9}$  و  $E_{27^\circ 50' 58'$ ) نشان داده شده است، نمونه‌برداری کردیم. انتخاب این محل برای نمونه‌برداری به دلایل زیر بود:

۱- رسوبات ریزدانه بودند و احتمال صفرشدگی ساعت درخشایی آنها زیاد بود و لذا برای سن یابی به روش OSL مناسب‌تر بودند.

۲- امکان نمونه‌برداری ساده‌تر بود.

۳- میزان جابه‌جایی (بالاً‌آمدگی) لایه ۲ در کنار گسل قابل اندازه‌گیری بود.

نقطه ضعف این نمونه:

چنانچه زلزله قبل از رسوبرگذاری لایه ۱ و در ایدئال‌ترین حالت درست پس از رسوبرگذاری لایه ۲ صورت گرفته بود، سن نمونه (N5) نمایانگر زمان تشکیل لایه ۲ درست قبل از وقوع زلزله بود، بنابراین به کمک آن می‌توانستیم "مدت لغزش" را به دست آوریم. اما چون سمت راست لایه ۲ در محل گسل، ریزش کولویال روی سمت چپ لایه ۲ ندارد، لایه بالایی یا بخشی از آنها هنگام وقوع زلزله موجود بوده است. بنابراین سن نمونه N5 زمانی نامعین قبل از وقوع زلزله را تعیین می‌کند، در

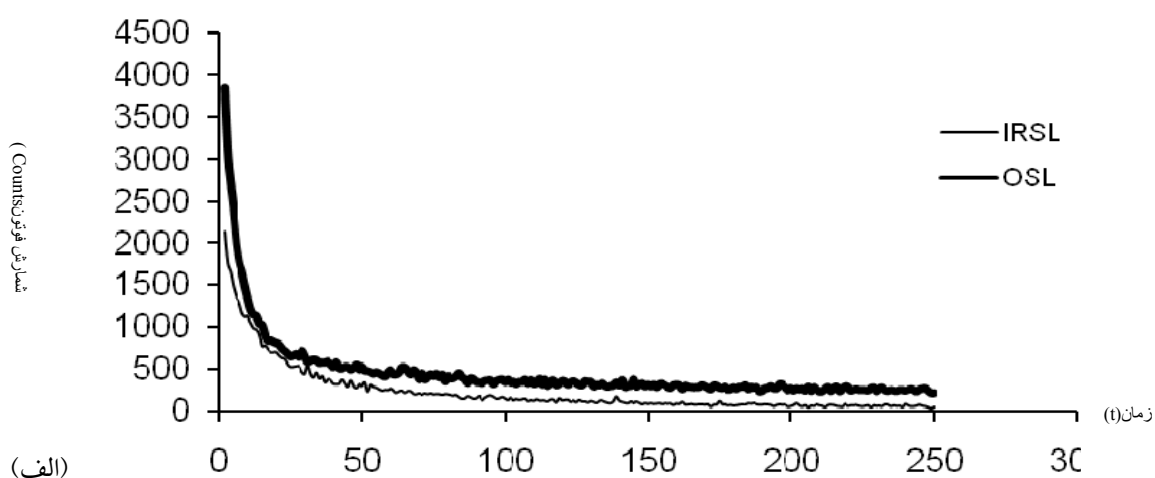
مجددأً نمونه با آب شست و شو شد و در کوره به مدت ۲۴ ساعت گذاردۀ شد تا خشک شود. در مرحله بعد به کمک سدیم پلی تنگستیت رسوبات به روش چگالی از هم جدا شد. نمونه‌ها به چگالی‌های گوناگون تفکیک شدند. دانه‌های کوچک‌تر از ۲/۷۲ گرم بر سانتی‌متر مکعب دارای کوارتز و فلدسپارها بودند. دانه‌ها سپس (به مدت ۵۰ دقیقه) در هیدروفلوریک اسید ۴۸٪ قرار گرفتند. از این راه تلاش شد تا هم ناخالصی‌های دیگر حذف و هم لایه خارجی دانه‌های کوارتز حذف شود. حذف این لایه اثر پرتوهای ناخواسته را از بین می‌برد. سپس دانه‌ها با کلریدریک اسید ۱۰٪ شست و شو داده شدند و در همه مراحل پیش گفته در بین عملیات، دانه‌ها با آب مقطر شست و شو شدند. در مرحله آخر نیز دانه‌ها کاملاً با آب مقطر شست و شو داده شدند و در کوره قرار گرفتند. پس از ۲۴ ساعت دانه‌ها از کوره خارج شدند.

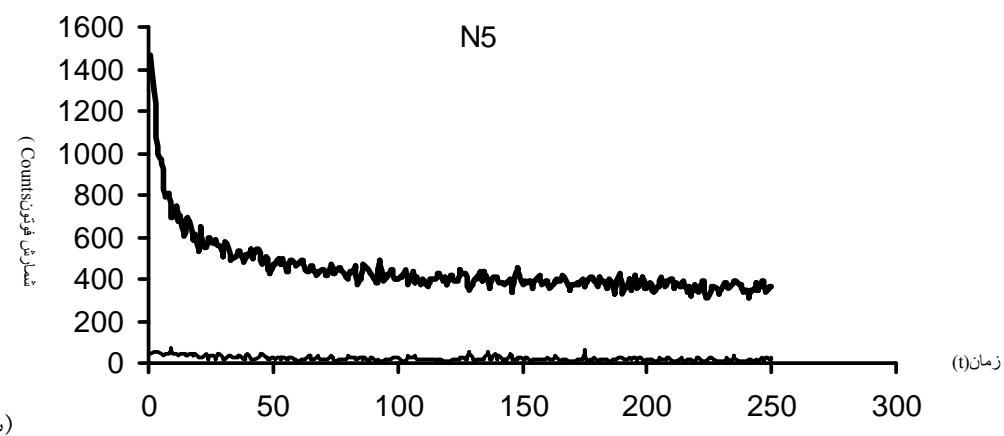
خالص بودن کوارتز با آزمون درخشاری تحریک شده با پرتو فروسرخ (IRSL, Infrared Stimulated Luminescence) صورت گرفت و متأسفانه وجود ناخالصی‌های فلدسپار آشکار شد (شکل ۷-الف). لذا عملیات فوق مجددأً تکرار شد. به هر حال با ادامه این عملیات، کوارتز خالص حاصل شد (شکل ۷-ب).

سنجهش رطوبت و یک نمونه نیز برای اندازه‌گیری دُز سالانه به روش ICP-Mass برداشت شد. متأسفانه به دلیل نداشتن امکانات مناسب، نمونه‌برداری از ارتفاعات متفاوت صورت گرفت و همچنین اندازه‌گیری پرتو ۷ به کمک طیف‌سنج ۷ (علیرغم آنکه طیف‌سنج در دسترس بود) فراهم نشد.

نمونه مخصوص طیف‌سنج ICP با دستگاه مناسب در دانشگاه آکسفورد به پودر با اندازه مناسب آسیاب و جهت آنالیز به واحد مربوط ارسال شد و نتایج آن در جدول ۳ موجود است.

نمونه مخصوص اندازه‌گیری دُز معادل دُز طبیعی به آرامی ساییده شد و مقدار مناسب دانه‌های تهیه و سپس به روش خیس عملیات سرند به آرامی صورت گرفت و دانه‌ها با اندازه‌های گوناگون جدا شد و در کوره گذاشته شد تا خشک شود. سایز ۹۰-۱۵۰ میکرون پس از یک روز از کوره خارج و به مدت دو روز در کلریدریک اسید یک نرمال قرار گرفت، عملیات ادامه یافت تا دیگر نمونه، واکنشی با اسید نشان نداد. مجددأً نمونه با آب شست و شو داده شد و در کوره به مدت ۲۴ ساعت گذاردۀ شد. آن‌گاه نمونه در آب اکسیژنه ( $H_2O_2$ ) قرار گرفت، عملیات ادامه یافت تا دیگر نمونه واکنشی به آب اکسیژنه نشان نداد. بدین روش کربنات‌ها و مواد آلی از رسوبات جدا شد.

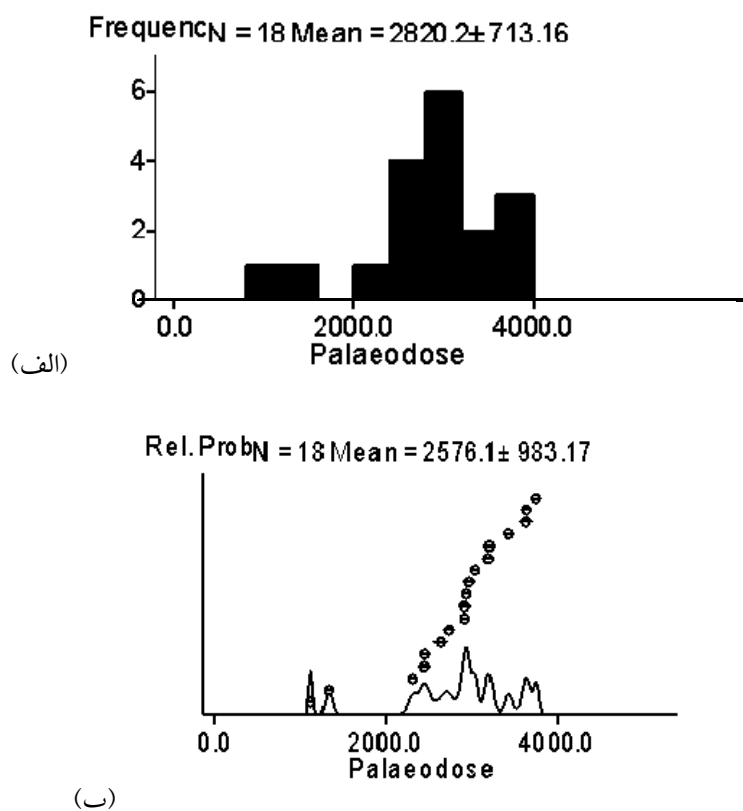


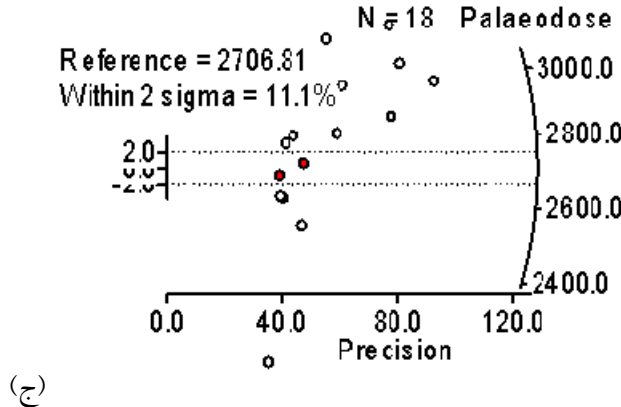


شکل ۷. (الف) فقط فلدسپار در دمای محیط تولید IRSL می‌کند. وجود ۲۰۰۰ شمارش در لحظه اول توسط IRSL نمایانگر وجود ناخالصی در نمونه است. (ب) اگرچه میزان درخشایی طبیعی کوارتز کاهش یافت اما فلدسپار حذف و کوارتز خالص شد.

مقایسه نسبی منحنی‌های نزولی حاصل از سیگنال طبیعی و مصنوعی میزان دز معادل دُز طبیعی حدس زده شد. آن‌گاه با استفاده از روش OSL<sub>e</sub> ، با بهره‌گیری از روش SAR اندازه‌گیری شد و نتایج با نرم‌افزار Analyst تحلیل شد (شکل ۸).

آن‌گاه عملیات سن‌یابی کوارتز و فلدسپار به‌طور مستقل صورت گرفت. به‌منظور سن‌یابی کوارتز و فلدسپار از دانه‌های با اندازه بین ۹۰ الی ۱۵۰ میکرون استفاده شد. در ابتدا میزان توانایی دانه‌ها در تولید درخشایی اندازه‌گیری شد. سپس با دادن دُز  $\beta$  به میزان معین و





(ج)

شکل ۸. داده های سه روش آماری در برآورد متوسط دز طبیعی بررسی شد (الف) بافت نگار (هیستوگرام) (ب) میانگین وزنی (ج) نمودار شعاعی.

به دست آمد. با استفاده از این نتایج و سایر اطلاعات شامل رطوبت نمونه و موقعیت مکانی، میزان دز سالانه نیز اندازه گیری شد و سن نمونه به دست آمد (جدول ۳).

## ۶ بحث

نمونه N5 از رسوباتی گرفته شده است که ۹ متر بالا آمده اند و سن آنها در جدول ۳ آورده شده است. سن آنها مربوط به کواترنر پسین است و بیانگر کواترنر بودن وفعال بودن گسل است و در تحقیقات بعدی می باید تلاش برای تعیین آهنگ لغزش در هولوسن و ربط آن به رخدادهای لرزه زمین ساختی صورت پذیرد. در هر حال، میزان نرخ لغزش با استفاده از  $^{36}\text{Ar}$  محاسبه شده به روش میانگین وزنی و حداقل سن به ترتیب ( $0/1 - 0/3$ ) و ( $0/4 - 0/3$ ) میلی متر در سال خواهد بود. با توجه به توزیع  $^{36}\text{Ar}$  که به صورت پراکنده است و شرایط محیط (محیط آلویال)، به نظر می رسد که این سن بیش از حد برآورد شده است.

نمونه های زمین شناسی مثل ماسه های بادی به اندازه کافی در معرض نور آفتاب قرار می گیرند، لذا سیگنال درخشایی طبیعی همه دانه های آن صفر می شود. چنانچه  $^{36}\text{Ar}$  این دانه ها اندازه گیری شود، به لحاظ آماری عدد اندازه گیری شده با در نظر گرفتن خطای حدوداً یکسان به دست می آید. در محیط هایی که رسوب در زیر آب قرار داشته است، مثل رسوبات رودخانه ای، این احتمال وجود دارد که همه دانه ها سیگنال درخشایی خود را به طور کامل از دست نداده باشند. به عبارت دیگر، برخی دانه ها کل سیگنال درخشایی را از دست داده و کاملاً صفر شده اند و برخی بخشی از سیگنال درخشایی خود را از دست داده اند. دانه هایی که سیگنال درخشایی خود را کل از دست داده اند، کمترین  $^{36}\text{Ar}$  و سن را نشان خواهند داد که به سن واقعی بسیار نزدیک تر است و سن سایر دانه ها بیش از سن واقعی خواهد بود. در صورتی که چنین حالتی صورت پذیرد، توزیع  $^{36}\text{Ar}$  پراکنده خواهد بود.

نتایج ICP-Mass دریافت و آنالیز کامل نمونه

جدول ۳. نتایج سن یابی نمونه N5

N5	De(GY) Weighted	$\pm$	Total (Gy/ka)	$\pm$	Age (ka)	$\pm$
<b>Weighted</b>	206.6	78.8	3.8	0.2	55.0	13.2
<b>Min</b>	90.5	4.8	3.8	0.2	24.1	1.9

از سوی دانشگاه اکسفورد انگلستان فراهم شد. از همکاری آقایانی که مارا در این سفر همراهی کردند، تشکر می‌کنیم. همچنین از توجه داوران محترم که با نظرات سازنده موجب ارتقای مقاله شدند، تشکر می‌کنیم.

#### منابع

- آبرسیز، ن. ن. و ملویل، چ. پ.، مترجم: ابوالحسن رده، ۱۳۷۰، تاریخ زمین‌لرزه‌های ایران، انتشارات آگاه.
- بربریان، م.، قرشی، م.، شجاع طاهری، ج. و طالیان، م.، ۱۳۷۸، پژوهش و بررسی نوزمین‌ساخت و خطر زمین‌لرزه-گسلش در گستره مشهد-نیشابور، سازمان زمین‌شناسی کشور، کتاب شماره ۷۲.
- شجاع طاهری، ج. و قرشی، م.، ۱۳۸۱، بررسی خطر زمین‌لرزه-گسلش در گستره مشهد-نیشابور، مجله علوم زمین سال یازدهم، شماره ۴۶-۴۵.
- Aitken, M. J., 1998, An Introduction to Optical Dating, The dating of Quaternary sediments by the use of photon-stimulated luminescence, Oxford University Press, Oxford, 267.
- Berberian, M. and Yeats, R., 1999, Patterns of historical earthquake rupture in the Iranian Plateau, Bulletin of the Seismological Society of America, **89**, 120-139.
- Fattah, M., 2003, Recent Developments in the Techniques of Luminescence Dating, Iranian Ins. J. Sci. **4**(1), 57-72.
- Fattah, M. and Stokes, S., 2003, Dating volcanic and related sediments by luminescence methods: a review, Earth Science Reviews **62**(3-4), 229-264.
- Fattah, M., Walker, R., Hollingsworth, J., Bahroudi, A., Nazari, H., Talebian, M., Armitage, S. and Stokes, S., 2006, Holocene slip-rate on the Sabzevar thrust fault, NE Iran, determined using optically stimulated luminescence (OSL), Earth and Planetary Science Letters, **245**(3-4), 673-684.
- Fattah, M. and Walker, R., 2007, Luminescence dating of the last earthquake of the Sabzevar thrust fault, NE Iran, Quaternary Geochronology, **2**, 284-289.
- Hollingsworth, J., Jackson, J., Walker, R., Gheitanchi, M. and Bolourchi, M., 2006, Strike-slip faulting rotation, and along-strike elongation in the Kopeh Dagh mountains, NE

لذا ضروری است تا موارد فیزیکی، از جمله موضوع صفرشدگی (OSL, Resetting of OSL signal) مورد بررسی قرار گیرد.

در ضمن ضروری است که مجدداً به محل مراجعته و از ارتفاعات گوناگون، بهویژه از لایه ۱ نمونه گیری شود. همچنین، براساس چگونگی فعالیت این گسل (از نظر زمین‌ریخت‌شناسی، بسیار جدید و همراه با زمین‌لرزه‌های تاریخی است)، انتظار می‌رود که نرخ لغزش مشابه گسل سیزوفار (فتاحی و همکاران، ۲۰۰۶) یعنی ۱ میلی‌متر در سال باشد.

#### ۷ نتیجه گیری

بررسی‌های اولیه گسل شمال نیشابور نشان داد که شبیه گسل،  $60^{\circ}$  به سمت شمال است و در سطح یک پرتگاه کوچک به ارتفاع ۹۸ متر را تشکیل داده است. جایه‌جایی قائم گراولهای لایه افقی، یعنی بالارفتگی سمت راست لایه نسبت به سمت چپ آن در امتداد گسل، نمایانگر آن است که این گسل فعال و از نوع تراست است.

سن حاصل از نتایج بررسی‌های اولیه به دست آمده به روش میانگین وزنی  $42000-68000$  سال و با استفاده از روش حداقل سن  $22200-26000$  برآورد شد. به کمک این سن میزان لغزش گسل با استفاده از روش میانگین وزنی  $10/0-10/3$  میلی‌متر در سال و به روش حداقل سن  $40/3-40/4$  میلی‌متر در سال، برآورد شد.

#### تشکر و قدردانی

بخشی از بودجه مسافرت نویسنده اول برای به انجام رساندن این تحقیق از محل طرح تحقیقاتی شماره ۶۲۰۱۰۰۲/۱۰۲ دانشگاه تهران تامین شده است که بدین‌وسیله از گروه فیزیک زمین و شورای پژوهشی مؤسسه ژئوفیزیک، شورای پژوهشی و معاونت پژوهشی دانشگاه تهران قدردانی می‌شود. امکانات لجستیکی از سوی سازمان زمین‌شناسی و امکانات سنجابی OSL

- Iran, Geophysical. J. International, **166**, 1161–1177.
- Hollingsworth, J., 2010, Active Tectonics of NE Iran, Cambridge University PhD Thesis.
- Khain, V. E.\_and Lobkovskiy, L. I., 1994, Relict seismicity in the Alpine belt of Eurasia, Mode of Occurrence, GEOTECTONICS. **28**(3).